

# ТЕОРІЯ ОПТИМАЛЬНИХ РІШЕНЬ

*Рассматривается подход, который может быть полезным при решении задачи о раскраске плоских графов четырьмя красками.*

---

© В.Б. Павленко, 2013

УДК 519.1

В.Б. ПАВЛЕНКО

## ПРОГРАММНАЯ РЕАЛИЗАЦИЯ МЕТОДА РЕШЕНИЯ СИСТЕМ УРАВНЕНИЙ В КЛАССАХ ВЫЧЕТОВ ПО МОДУЛЮ 3

**Введение.** Рассматривается подход, который может быть полезным при решении задачи о раскраске плоских графов четырьмя красками. Также в статье делается программная реализация, подтверждающая расчеты и демонстрирующая работу алгоритма.

Рассмотрим максимальный четырехсвязный планарный граф  $G$ . Если он правильно раскрашен четырьмя цветами, то его ребра можно так раскрасить тремя цветами, что в каждой его треугольной грани все ребра будут окрашены по разному. Обозначим номера цветов цифрами 0, 1, 2, в двоичной записи имеем: (00), (01), (10). Обозначим  $x_i$  и  $y_i$ ,  $i = 1, 2, 3$  соответственно первый и второй разряды. Тогда, раскраска ребер будет эквивалентна решению системы уравнений для каждого треугольника в кольце вычетов по модулю  $2 - Z_2$ :

$$\begin{cases} x_1 + x_2 + x_3 \equiv 1 \pmod{2}, \\ y_1 + y_2 + y_3 \equiv 1 \pmod{2}, \\ y_1 x_1 \equiv y_2 x_2 \equiv y_3 x_3 \equiv 0 \pmod{2}. \end{cases}$$

Назовем  $y_i$  двойственными переменными к  $x_i$  [1]. По теореме Татта [2] рассматриваемый граф  $G$  будет гамильтоновым. Гамильтонов цикл делит граф на две области  $R_1$  и  $R_2$ . Если для  $G$  построить двойственный граф  $G'$ , то областям  $R_1$  и  $R_2$  будут соответствовать два произвольных дерева со степенью ветвления 3, которые будут соединяться друг с другом ребрами, двойственными к ребрам гамильтонова цикла.

Пусть оба этих дерева являются простыми цепями [3]. Занумеруем ребра гамильтонова цикла последовательно по часовой стрелке. Как видно из рис. 1, внутренние ребра области  $R_1$  естественным образом упорядочиваются.

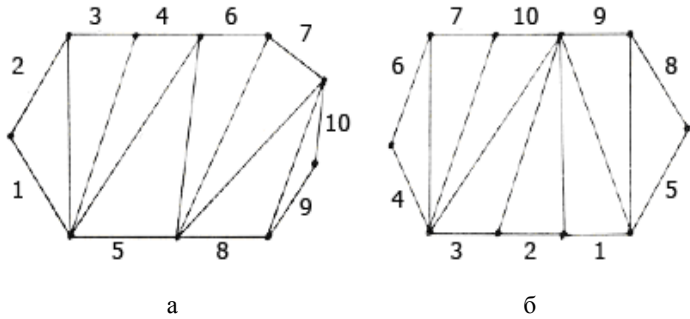


РИС. 1. Пронумерованные области  $R_1$  и  $R_2$

Любой правильной раскраске вершин графа  $G$  соответствует такая раскраска в три цвета его ребер, что в каждом треугольнике все три ребра имеют разные цвета, которые обозначим 0, 1, -1. Пусть  $x_i$  – цвет ребра под номером  $i$  гамильтонова цикла. Тогда, для первых двух ребер справедливо  $x_1 \equiv x_2 \pmod{3}$ .

Пусть  $a_j$ , ( $j=1,2,\dots,n-2$ ) – переменные, соответствующие цветам внутренних ребер. Тогда, для правильной раскраски  $a_1 \equiv (-x_1 - x_2) \pmod{3}$ . В следующем треугольнике  $x_3 \not\equiv a_1 \pmod{3}$  и тогда  $x_1 + x_2 + x_3 \not\equiv 0 \pmod{3}$ .

Продолжая те же рассуждения, получим систему неравенств, дополненную одним равенством [4]:

$$\left. \begin{array}{l} x_1 - x_2 \not\equiv 0 \\ x_1 + x_2 + x_3 \not\equiv 0 \\ x_1 + x_2 - x_3 - x_4 \not\equiv 0 \\ x_1 + x_2 - x_3 + x_4 + x_5 \not\equiv 0 \\ x_1 + x_2 - x_3 + x_4 - x_5 - x_6 \not\equiv 0 \\ x_1 + x_2 - x_3 + x_4 - x_5 + x_6 + x_7 \not\equiv 0 \\ x_1 + x_2 - x_3 + x_4 - x_5 + x_6 - x_7 - x_8 \not\equiv 0 \\ x_1 + x_2 - x_3 + x_4 - x_5 + x_6 - x_7 + x_8 + x_9 \not\equiv 0 \\ x_1 + x_2 - x_3 + x_4 - x_5 + x_6 - x_7 + x_8 - x_9 - x_{10} \equiv 0 \end{array} \right\} \pmod{3}. \quad (1)$$

Для области  $R_2$  получается аналогичная система, которую назовем двойственной к данной.

$$\left. \begin{array}{l} x_4 - x_6 \not\equiv 0 \\ x_4 + x_6 + x_7 \not\equiv 0 \\ x_4 + x_6 - x_7 - x_{10} \not\equiv 0 \\ x_4 + x_6 - x_7 + x_{10} + x_3 \not\equiv 0 \\ x_4 + x_6 - x_7 + x_{10} - x_3 - x_2 \not\equiv 0 \\ x_4 + x_6 - x_7 + x_{10} - x_3 + x_2 + x_1 \not\equiv 0 \\ x_4 + x_6 - x_7 + x_{10} - x_3 + x_2 - x_1 - x_9 \not\equiv 0 \\ x_4 + x_6 - x_7 + x_{10} - x_3 + x_2 - x_1 + x_9 + x_8 \not\equiv 0 \\ x_4 + x_6 - x_7 + x_{10} - x_3 + x_2 - x_1 + x_9 - x_8 - x_5 \equiv 0 \end{array} \right\} \pmod{3}. \quad (2)$$

Превратим данные неравенства в равенства и запишем их в виде матрицы  $A$ . Пусть  $\alpha = (x, (-1)^{\alpha_7}, (-1)^{\alpha_6}, \dots, (-1)^{\alpha_0}, 0)^T$ ,  $\beta = (x, (-1)^{\beta_7}, (-1)^{\beta_6}, \dots, (-1)^{\beta_0}, 0)^T$ . Перестановочная матрица  $P$  соответствует перестановке:

$$S = \begin{pmatrix} 1 & 2 & 3 & 4 & 5 & 6 & 7 & 8 & 9 & 10 \\ 4 & 6 & 7 & 10 & 3 & 2 & 1 & 9 & 8 & 5 \end{pmatrix}$$

или в циклическом виде  $(1, 4, 10, 5, 3, 7)(2, 6)(8, 9)$ . Система (1 – 2) имеет вид:

$$A \cdot X = \bar{\alpha}; \quad P \cdot A \cdot P^{-1} \cdot X = \bar{\beta}. \quad (3)$$

**Лемма.** Для матрицы  $A$  системы (3) справедливо  $A \equiv A^{-1} \pmod{3}$ .

Учитывая это систему (3) можно переписать в виде

$$X = A \cdot \bar{\alpha}; \quad P \cdot A \cdot P^{-1} \cdot A \cdot \bar{\alpha} = \bar{\beta}. \quad (4)$$

Если найдутся соответствующие значения  $\bar{\alpha}, \bar{\beta}$ , то можно найти решение исходной системы (1 – 2) и соответствующую раскраску графа  $G$ . Рассмотрим систему (1). Определитель матрицы  $A$  отличен от нуля, поэтому задавая различные значения вектора  $\bar{\alpha}$ , всегда можно получить решения данной системы, которых будет  $3 \cdot 2^{n-2}$  в соответствии с размерностью вектора  $\bar{\alpha}$ . Поставим задачу упорядочить решения системы (1) таким образом, чтобы параметру  $u$  пробегающему значения от 0 до  $3 \cdot 2^{n-2} - 1$ , соответствовало только одно такое решение. Рассмотрим параметры вектора  $\bar{\alpha}$  в виде  $\alpha_i = \left[ \frac{u}{2^i} \right]$ .

**Теорема.** Решением системы (1) является вектор  $X$ , у которого  $x_1 = 1 - \alpha_{n-2}$ ,  $x_i = (-1)^i (\alpha_{n-i} - \alpha_{n-i-1})$ ,  $(i = \overline{1, n-1})$ .

*Доказательство.* Согласно (4) получаем решение

$$\begin{aligned}x_1 &= x; \\x_2 &= x - (-1)^{a_7}; \\x_3 &= x - (-1)^{a_7} + (-1)^{a_6}; \\\dots; \\x_9 &= x - (-1)^{a_7} + (-1)^{a_6} - (-1)^{a_5} + (-1)^{a_4} - (-1)^{a_3} + (-1)^{a_2} - (-1)^{a_1}; \\x_{10} &= x + (-1)^{a_0}.\end{aligned}\quad (5)$$

Докажем равенство.

$$(-1)^{a_i} \equiv (1 + \alpha_i + \alpha_{i+1}) (\text{mod } 3). \quad (6)$$

Если  $\alpha_i = 2p$ , то  $\alpha_{i+1} = p$  и тогда  $(-1)^{2p} = 1 = (1 + 2p + p) \equiv 1 \pmod{3}$ . Если  $\alpha_i = 2p + 1$ , то  $\alpha_{i+1} = p$  и тогда  $(-1)^{2p+1} = -1 = (1 + 2p + 1 + p) \equiv -1 \pmod{3}$ . Подставляя эти значения в (5) при  $\alpha_0 = u$ , получаем решение системы в виде:

$$\begin{aligned}x_1 &= x, \quad x_2 = x - 1 + a_8, \quad x_3 = x - 1 + a_8 - a_7, \dots, \\x_9 &= x - 1 + a_8 - a_7 + a_6 - a_5 + a_4 - a_3 + a_2 - a_1 + u, \quad x_{10} = x - 1 + a_8 - u + 1.\end{aligned}\quad (7)$$

Вместо  $x$  можно подставлять любое значение, которое для  $u$  равно 0, 1, -1 с одинаковой частотой. Пусть  $x_1 = 1 - a_8$ , тогда:  $x_2 = a_8 - a_7$ ,  $x_3 = -a_7 + a_6$ ,  $x_4 = a_6 - a_5$ ,  $x_5 = -a_5 + a_4$ ,  $x_6 = a_4 - a_3$ ,  $x_7 = -a_3 + a_2$ ,  $x_8 = a_2 - a_1$ ,  $x_9 = -a_1 + u$ ,  $x_{10} = -u + 1$ .

Что и требовалось доказать.

Аналогичные формулы с помощью вектора  $\bar{\beta}$  можно получить и для системы (2), полагая  $\beta_j = \left\lfloor \frac{v}{2^j} \right\rfloor$ . Решением системы (1) – (2) будет такая пара  $(u, v)$ , для которой справедливы соотношения:  $-1 + a_8 = -\beta_3 + \beta_2$ ,  $a_8 - a_7 = \beta_4 - \beta_3$ ,  $-a_7 + a_6 = -\beta_5 + \beta_4$ ,  $a_6 - a_5 = 1 - \beta_8$ ,  $-a_5 + a_4 = 1 - v$ ,  $a_4 - a_3 = \beta_8 - \beta_7$ ,  $-a_3 + a_2 = -\beta_7 + \beta_6$ ,  $a_2 - a_1 = -\beta_1 + v$ .

Докажем формулу  $\alpha_i - \alpha_{i+1} = \left\lfloor \frac{u + 2^i}{2^{i+1}} \right\rfloor$ . Для этого представим  $u = k \cdot 2^{i+1} + l$ .

Если  $l \leq 2^i$ , то  $\alpha_i - \alpha_{i+1} = 2k - k = k$ . Если  $l \geq 2^i$ , то  $\alpha_i - \alpha_{i+1} = 2k + 1 - k = k + 1$ . И в том, и в другом случае это равно выражению в правой части. Первое уравнение преобразуется в

$$1 - \left\lfloor \frac{u}{2^8} \right\rfloor = \left\lfloor \frac{u + 2^2}{2^3} \right\rfloor. \quad (8)$$

Рассмотрим плоскую систему координат  $(u, v)$  и отметим на ней целочисленные точки, удовлетворяющие этому уравнению. Для левой части равенства  $0 \in [2^8, 2^9); 1 \in [0, 2^8); -1 \in [2^9, 3 \cdot 2^8)$ . Для правой части равенства:  $0 \in [-4, -4); 1 \in [4, 12); -1 \in [12, 20)$ . Концы данных интервалов повторяются с периодом  $t = 24$ , при этом круглые скобки означают, что правые границы не включаются в область определения. Областям, где левые и правые части уравнения равны 0, соответствуют прямоугольники, левая нижняя вершина которых имеет координаты  $(2^8, -4), (2^8, 20), (2^8, 44)$  и т. д. Рассмотрим теперь второе уравнение (7):

$$-\left\lfloor \frac{u + 2^7}{2^8} \right\rfloor = \left\lfloor \frac{u + 2^3}{2^4} \right\rfloor. \quad (9)$$

Для левой части равенства имеем:

$$0 \in [-2^7, 2^7); 1 \in [2^7, 3 \cdot 2^7); -1 \in [3 \cdot 2^7, 5 \cdot 2^7).$$

Для правой части равенства:

$$0 \in [-8, 8); 1 \in [8, 24); -1 \in [24, 40).$$

Здесь границы интервалов повторяются с периодом  $t = 48$ . Для этого уравнения будут свои прямоугольники, где совпадают значения правой и левой частей уравнения. Решение системы необходимо искать на пересечении прямоугольников, построенных для первого уравнения и соответствующих прямоугольников второго уравнения.

В результате этих операций получим прямоугольники пересечений с основанием, равным  $2^7$  и разной высотой, но все с периодом  $t = 48$ . Имеем  $(0, 2^7) \times (-4, 4); (2^7, 2^8) \times (20, 24); (2^8, 3 \cdot 2^7) \times (8, 12); (3 \cdot 2^7, 2^9) \times (28, 36); (2^9, 5 \cdot 2^7) \times (36, 40); (5 \cdot 2^7, 3 \cdot 2^8) \times (40, 44)$ . Вычисляя последовательно прямоугольники пересечений решений для последующих уравнений, получим в конце решение системы (1) – (2).

Поставим задачу программной реализации данного алгоритма. Пусть дан граф  $G$ , для которого построен двоистый, аналогично рис. 1. Для реализации поставленной задачи воспользуемся средой программирования Visual Basic 2010 Express [5]. В верхней части программы для удобства восприятия выведены обе области  $R_1$  и  $R_2$ . В нижнем поле выводятся результаты расчетов и пояснения программы по ним. Нажав на кнопку «Провести расчеты», в директории с программой создается файл «Record.txt», в котором хранятся расчеты программы, которые могут быть использованы в других расчетах. При последующих выполнениях программы, файл будет перезаписываться (рис. 2).

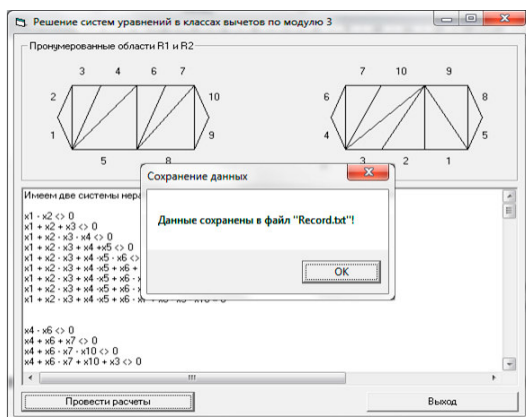


РИС. 2. Рабочая область программы

**Заключение.** Обработка данных, которые получаются в результате решения очередного уравнения, с каждым шагом по объему увеличивается относительно переменной  $u$ , но еще быстрее уменьшается относительно переменной  $v$ , так как часть прямоугольников по высоте пропадает. Разработанная программа дает решение лишь для частного случая и в дальнейшем следовало бы расширить функционал программы и добавить возможность изменения параметров.

*В.Б. Павленко*

#### ПРОГРАМНА РЕАЛІЗАЦІЯ МЕТОДУ РІШЕННЯ СИСТЕМ РІВНЯНЬ У КЛАСАХ ВІДРАХУВАНЬ ЗА МОДУЛЕМ 3

Розглядається підхід, який може бути корисним при вирішенні задачі про розфарбовування плоских графів чотирма фарбами.

*V.B. Pavlenko*

#### SOFTWARE IMPLEMENTATION FOR SYSTEMS OF EQUATIONS IN THE CLASS OF RESIDUES MODULO 3

The article proposes an approach that can be useful in solving the problem of coloring planar graphs with four colors.

1. Харари Ф. Теория графов. – М.: Мир, 1973. – 300 с.
2. Tutte W.T., Whitney H. Kempe chains and the four color problem. – Studies in Graph Theory, Studies in Math., Math. Assoc. Amer., 1976. – С. 241 – 281.
3. Кристофицес Н. Теория графов. Алгоритмический подход. – М.: Мир, 1978. – 432 с.
4. Донец А.П. Теоретико-числовой подход к решению некоторых задач теории графов. Дис. ... д-ра физ.-мат. наук. – К., 1997. – 162 с.
5. Зиборов В.В. Visual Basic 2010 на примерах. – БХВ-Петербург, 2010. – 336 с.

Получено 11.03.2013